

主記憶共有型ベクトル並列スーパーコンピュータ向け LU分解アルゴリズムの高速化手法

田中輝雄, 玉置由子, 伊藤昌尚, 榊原忠幸, 山本有作

(株)日立製作所 中央研究所

{ ttanaka, tamaki, m-itoh, sakakiba, yamamoto }@crl.hitachi.co.jp

要旨

主記憶共有型ベクトル並列スーパーコンピュータにおけるLU分解アルゴリズムによる密行列で表現される連立一次方程式の解法プログラムの高速化手法を検討した。ベクトル処理の高速化として多重ループ構造のループ展開手法を、また、並列処理の高速化として、Section型並列処理機構、Post/Waitライブラリを用いた並列制御処理時間の短縮および並列化適用範囲の拡大を行なった。その結果、主記憶共有型ベクトル並列スーパーコンピュータS-3800を用いて、比較的小規模な1000元の行列サイズにおいても、シングルプロセサで6.54 GFLOPS、4台のマルチプロセサで20.5 GFLOPSの性能を実現した。

Techniques to raise the performance of the LU decomposition algorithm on a shared memory vector parallel supercomputer

Teruo TANAKA, Yoshiko TAMAKI, Masanao ITOH, Tadayuki SAKAKIBARA
and Yuusaku YAMAMOTO

Central Research Laboratory, Hitachi Ltd.

Abstract

We present techniques to raise the performance of a shared memory vector parallel supercomputer when solving dense systems of linear equations by LU decomposition. For vector processing, we have studied loop unrolling for multiple loops. For parallel processing, we have studied the reduction of the overhead of parallel processing control and the expansion of parallelized code when using two parallel control facilities. As a result, when solving a relatively small system of equations (order 1000), we have obtained sustained performance of 6.54 GFLOPS with a single processor and 20.5 GFLOPS with four processors on Hitachi's S-3800 shared memory vector parallel supercomputer.

1. はじめに

ベクトル処理方式を基本とするスーパーコンピュータが実用化されてから20年以上が経ち、ハードウェア技術およびソフトウェア技術ともに格段の進歩を遂げた。ハードウェアはマシンサイクルの短縮および論理方式の改良によるシングルプロセサの性能向上とともに、並列処理方式の導入により台数効果による性能向上を実現している。特に、主記憶共有型のベクトル並列スーパーコンピュータは、CRAYのX-MP, Y-MP, C90, 富士通のVP2400/40, NECのSX-3, SX-4そして日立のS-3800と各メーカーの商用スーパーコンピュータの主流となっている。

一方、ソフトウェアは、コンパイラの技術として従来の自動ベクトル化技術の強化とともに新たに自動並列化技術を開発した。特に、主記憶共有型の自動並列化技術は、分散記憶型のようにデータの分割配置を必要とせず、手続きの分割のみで並列化を可能とするために、自動ベクトル化の延長上に技術開発を進めることができた。しかし、まだソフトウェアがハードウェアの持つ能力を限界まで使い切っているとはいえない。このため、スーパーコンピュータのシステム性能を十分引き出すためには、プログラムをスーパーコンピュータ向きに書きなおす、いわゆるリコーディングがまだまだ必要な状況にあり、そのための高度利用技術を高めていく必要がある。

スーパーコンピュータの性能評価の観点から見ると、ユーザ側からは、自分の興味のあるベンチマークプログラムを実行することにより、そのスーパーコンピュータシステムの優劣を判断する。ベンチマークプログラムとしては、 $A(I) = B(I) + C(I)$ のような基本演算性能、種々の主記憶アクセスパターンによる主記憶アクセス性能、リバモアカーネルのような基本ループから実際の応用プログラムまでさまざまなレベルから評価を行ない、システムの優劣をトータルに判断する。

一方、システム開発者側からの性能評価では、そのハードウェアあるいはソフトウェアの長所/短所を知りぬいた上で、そのシステムを最大性能を引き出すことを行ない、システムの限界性能を追及し、その中から、コンパイラやライブラリなどのソフトウェアへの改良の指針や次期システムの研究開発への方針を設定する。

以下では、後者の立場から評価を行ない、ベンチマークプログラムとしてLU分解アルゴリズムによる連立一次方程式の求解演算を用いる。このLU分解アルゴリズムのベクトル化、並列化(特に分散記憶

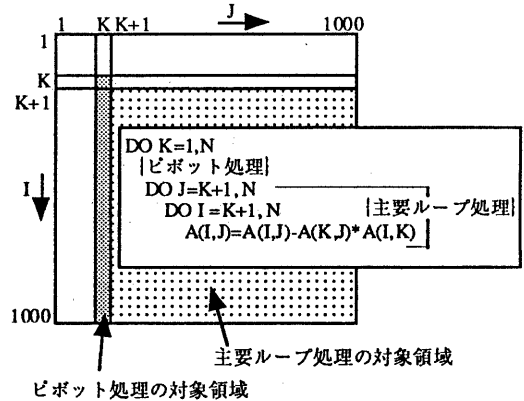


図1 対象行列 $A(I, J)$ の構造 (展開前)

型)については、いままでも研究開発が進められている[8][9][10]。ここでは、さらに、主記憶共有型スーパーコンピュータの特性(特にハードウェア)を十分に引き出すための手法について報告する。主記憶共有型スーパーコンピュータの例として、日立のスーパーコンピュータS-3800[1]を用いる。

2. LU分解アルゴリズムの概要と

スーパーコンピュータS-3800の特徴

2.1 LU分解アルゴリズムの概要

LU分解アルゴリズムは、密行列の連立一次方程式の求解演算法である。以下では、対象とする密行列のサイズを1000元とする。LU分解アルゴリズムを選択した理由を示す。

- (1) 行列計算は数値シミュレーションの基本演算であり、その高度利用技術は他のシミュレーションプログラムへ広く適用可能であること。
- (2) スーパーコンピュータのベンチマークプログラムとしては問題規模が比較的小規模(必要な主記憶容量が8MB)であり、ハードウェアやソフトウェアの詳細特性を把握できること。
- (3) 特に1000元のLU分解アルゴリズムは、一般にLINPACK^{注1}ベンチマーク[6]として、広く使用されていること。

プログラム主要部とそれに対応する行列 $A(I, J)$ の構造を図1に示す。この基本的な構造はピボット

^{注1} LINPACK(LINear equations PACKage)は、米国Tennessee大学のJ.J.Dongarra教授を中心に開発された線形計算用ライブラリで、そのうち、特にGaussの消去法に基づく連立一次方程式の求解ルーチンがLINPACKベンチマークとして、スーパーコンピュータの実効性能を計る“ものさし”として広く利用されている。

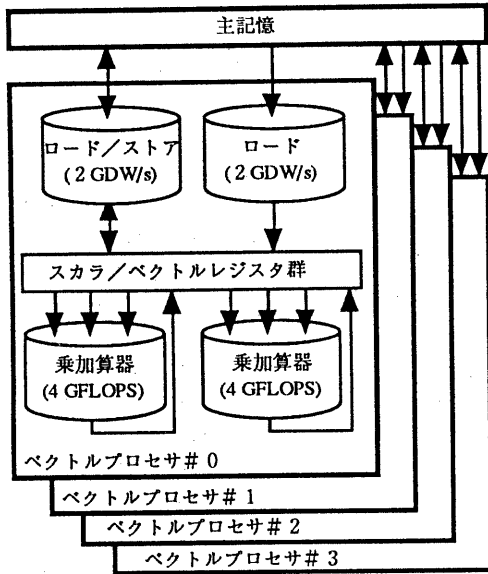


図2 S-3800の演算機構およびロードストア機構

処理^{注2}と密な2重ループを含む3重ループであり、ループ内の演算処理は積和計算となる^{注3}。演算量の大部分はこの密な2重ループ処理であり、以下ではこの処理を主要ループと呼ぶ。また、ベクトル化の対象であるIに関する最内側ループのループ長は反復回数ごとに行列サイズNから1まで順次短く変化する。

2.2 スーパーコンピュータS-3800の特徴

評価の対象とする主記憶共有型ベクトル並列スーパーコンピュータとして、スーパーコンピュータS-3800を例題とする。S-3800は最大4台のベクトルプロセッサが主記憶を共有する主記憶共有型のベクトル並列スーパーコンピュータである。まずはS-3800のハードウェアの特徴をその前機種であるスーパーコンピュータS-820と対比しながら概略説明を行なう。詳細なS-3800の特徴については、文献[2][3][4][5]を参照されたい。

2.2.1 演算能力について

図2にS-3800の概略構成を示す。主記憶を

^{注2} ビット処理は解の安定性を保持するために行なう処理であり、配列Aの第K列内の最大値を検索し、その最大値を含む行と(A(K,K)を含む行との交換を行なう[7]。

^{注3} LINPACKベンチマーク(1000元)の定義では、アルゴリズム自体の改造も許されているが、本報告では、アルゴリズム自体は固定して検討する。

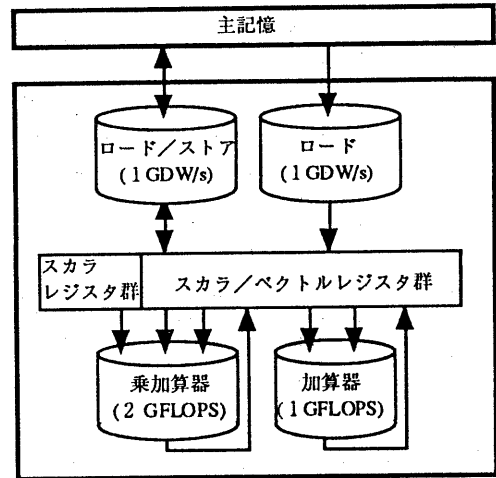


図3 S-820の演算機構およびロードストア機構

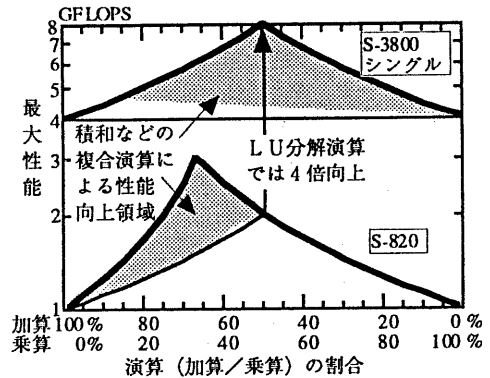


図4 演算の割合による演算最大性能の変化

共有する最大4台のベクトルプロセッサから構成され、各ベクトルプロセッサは2組の乗加算器を持つ。それぞれの乗加算器は最大2 GFLOPS^{注4}の能力を持つ加算器と乗算器からなり、複合命令である乗加算命令を実行することにより、最大4 GFLOPSの演算性能を有する。したがって、ベクトルプロセッサあたりの最大演算性能は8 GFLOPSとなる。さらに4台のベクトルプロセッサによる並列処理によりシステムとしての最大演算性能は32 GFLOPSとなる。

一方、図3にS-820の概略構成を示す。S-820は単一のベクトルプロセッサから構成され、乗加算器と加算器を1組ずつ持つ。S-820の基本マシンサイクルはS-3800の1/2である。そのために乗加算器の最大演算性能は2 GFLOPSとな

^{注4} GFLOPS : Giga Floating Operations Per Second. 1秒間に10億回の浮動小数点演算を実行可能な能力。

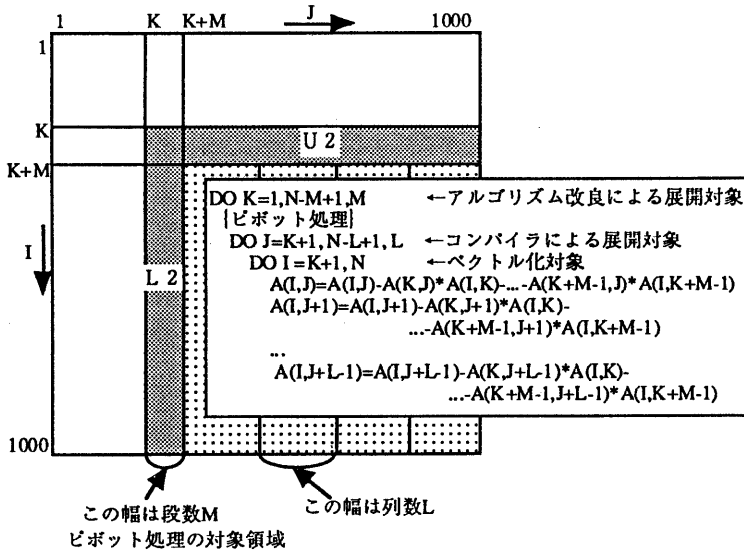


図5 対象行列 A(I,J) の構造 (M段同時L列展開)

り、加算器は1 GFLOPSである。したがって、S-820の最大演算性能は3 GFLOPSとなる。

演算中の加算と乗算の割合と最大演算性能の関係を図4に示す。S-820では、乗算と加算の比が1対1で最大演算性能が2 GFLOPS、加算と乗算を1つずつ含む複合命令^{註5}と加算命令が1対1の割合ではじめて最大演算性能が3 GFLOPSとなる。これに対して、S-3800では、加算命令と乗算命令の割合には関係なく最大演算性能は4 GFLOPSが上限と一定である。さらに、複合命令を用いることにより、2つの乗加算器が有効に動作するとき最大演算性能は8 GFLOPSとなる。

図1に示すように、LU分解アルゴリズムの主要ループの演算は、

$A(I, J) = A(I, J) - A(K, J) * A(I, K)$ [式1]
と $V = V + (-S) * V$ の積和形式となり、乗加算器を有効に動作させることができる。ここで、Vはベクトルデータ、Sはスカラデータを示す。

上記の積和演算により乗算と加算の比が1対1になる。したがって、この演算に対してS-820の最大性能が2 GFLOPSであるのに対して、S-3800では1台のベクトルプロセサの理想的な最大性能は8 GFLOPSとなり、S-820と比較して演算器構成の改良とマシンサイクルの向上により理想的

^{註5} S-820で適用できる複合命令は $V = S * V \pm V$ 、(ここで、Vはベクトルあるいはスカラデータ、Sはスカラデータ)のみであるのに対して、S-3800では、 $V = V * V \pm V$ 、 $V * (V \pm V)$ をサポートしており、複合命令の適用範囲を拡大している。

に4倍の高速化がはかられることになる。

さらに、LU分解アルゴリズムの主要ループの演算は、図1よりわかるようにアルゴリズム的に完全に並列化可能であり、4台マルチプロセサでの並列実行時には主要ループの理想的な最大性能の上限は32 GFLOPSとなる。

2.2.2 主記憶のデータアクセス能力について

スーパーコンピュータの実効性能を決める要因として、主記憶とのデータアクセス能力がある。図2に示すように、S-3800のベクトルプロセサあたりの主記憶とのロード/ストアパイプラインは2 GDW^{註6} × 2である。

これは、図3に示すS-820と同一構成であり、絶対性能の比はマシンサイクル比と同じ2倍にとどまっている。そのため、S-3800においては、演算器を効率良く動作させるためには、ロード/ストア命令に対する複合(積和)演算命令の比を1:1以上とする必要がある。

3. ベクトル処理機構の高速化

3.1 主要ループのループ展開、多段同時消去

2.2節で説明したように、ベクトル処理機構の高速化では、主記憶へのアクセス処理を抑えることが性能向上のための最重要課題である。

LU分解演算の主要ループは、図1に示すように多重ループを形成しておりループ展開により主記憶へのロード/ストア回数を削減することができる。多重ループのループ展開の例を図5に示す。図5の3重ループ構造において、Iに関するDOループはベクトル化の対象であり展開の対象とはしない。外側のJおよびKに関する2つのDOループが展開の対象である。

- (1) Jに関するDOループをL倍にループ展開(いわゆるアンローリング)することにより、右辺のベクトルデータ $A(I, K)$, $A(I, K+1)$, ..., $A(I, K+M-1)$ が共通化可能となり、主

^{註6} GDW/s : Giga Double Words / sec. 1秒間に10億回の倍精度データを転送する能力。

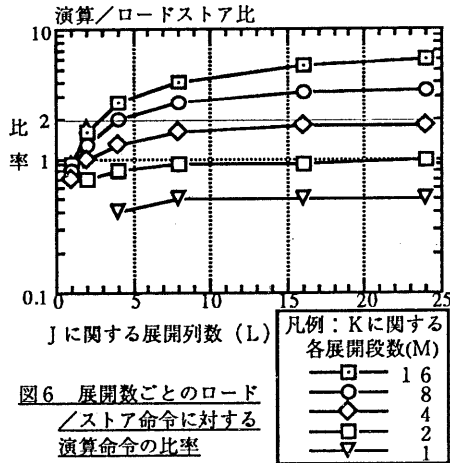


図6 展開数ごとのロード/ストア命令に対する演算命令の比率

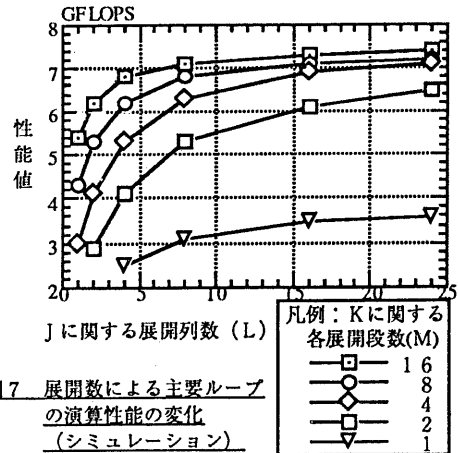


図7 展開数による主要ループの演算性能の変化 (シミュレーション)

記憶からのロード処理を削減できる。

- (2) 外側のKに関するDOループをM段同時消去しM倍に展開することにより、左辺A(I, J)へ一度に複数のベクトルデータA(I, K), ..., A(I, K+M-1)を足しこむことになり、主記憶へのストア処理の回数を減らすことができる。

図6に、M段L列展開したときの主要ループ内のロード/ストア命令に対する演算命令(複合命令は2とカウント)の比を示す。2つの演算器を有効に動作させるためには、この比の値は最低2以上確保する必要がある。また、展開段数、展開列数を変化したときの主要ループの性能をシミュレーションにより求めた値を図7に示す。図7の評価値は、1000元の問題を解く時に必要なループ長(1000~1)をすべてシミュレーションし、全体の演算時間を求め、対応する全体の浮動小数点演算量から割った結果である。

展開数を増やすことにより、しばらくは性能が向上するが、この展開による性能向上にも限界がある。その理由は、次の2点である。

- (1) Kに関するM段展開により、ピボット処理をM列まとめて行なう必要がある。そのために、本来主要ループで処理するはずの消去計算の一部(図5中のL2の領域)をピボット処理と交互に逐次的に行なう必要が生じ、主要ループの演算割合が低くなる。
- (2) (中間)のベクトルデータを保持するベクトルレジスタが足りなくなるために、中間のベクトルデータの退避回復が必要となる。

1000元規模のLU分解演算に対しては、S-3800においては、8段同時消去16列展開あるいは10段同時消去10列展開程度が最適となる。

3. 2 その他のベクトル処理機構の高速化手法

(1) キャッシュ転送の削減

S-3800では、スカラーデータはキャッシュを介して取り込まれる。また、主記憶とキャッシュの間は、数から数10の連続したデータがまとめて転送される。したがって、スカラーデータを複数必要とする場合は主記憶上の連続した領域から確保した方が効率が良い。LU分解法では、主要ループの演算(前述の[式1])において、スカラーデータA(K, J)を用いる。主要ループでは、Jに関するDOループはJ方向に変化するのでスカラーデータは連続とはならない。そこで、A(K, J)[J=K+M, N]のデータをワーク領域W(J)[J=K+M, N]に事前に移しておき[式1]を

$$A(I, J) = A(I, J) - W(J) * A(I, K)$$

とすることにより、効率良くスカラーデータを取り込むことができる。

(2) M段展開により派生した消去計算の高速化

このピボット処理により派生した消去計算処理(図4のL2領域の処理)も小規模ではあるがM段同時消去L列展開処理を適用することができる。それぞれ可能なレベルでの展開処理を行なう。

4. S-3800並列処理機構の高速化手法

4. 1 並列化チューニングのための方針

前章でのベクトルプロセサ向けチューニングを施したプログラムを実行し、S-3800の1プロセサモデルで6.54 GFLOPSの実効性能を実現した。

次に、主記憶共有型マルチプロセサに適用するために、Jに関するDOループに対しDO ALLタイプの並列化を施した。その結果、S-3800の4プロ

セサモデルを用いて16.7 GFLOPSの性能を得た。しかしこれは台数効果として、4台で2.6倍と効率が悪く、そこでプログラムを分析し、演算時間の内訳を調べた。その結果を表1に示す。

表1から、並列化の対象とした主要ループはじゅうぶんベクトル並列化の効果を得られていることがわかる。一方、浮動小数点演算が高々1.3%しかないその他のループの実行時間が全体の34%を占めている。その他のループには、ピボット処理およびKに関するDOループの展開により主要ループから分離したL2領域(図5)の消去計算処理がある。この処理はL2領域の列ごとのピボット処理と同時に行なう必要があり、まとめて並列化はできない。このL2領域のピボット処理および消去計算処理を処理Pとする。また、同様に図5のU2領域の消去計算処理を処理U、K+M行からN行、K+M列からN列の消去計算処理を処理Aと呼ぶことにする。これらの処理の位置関係を図5を簡略化した補助図8aに示す。また、図8にはJに関するDOループに対して、DO ALLタイプの並列化を施し、処理Aのみを並列化の対象としたときの処理手順のフローチャートを示す。図8では、簡単のためにプロセッサ数は2としている。

図8の枠の中は、プログラムの概略であり、

```
*POPTION PARALLEL
```

は、Jに関するDOループに対して、DO ALL型の並列化の指示を与えている。

以下では、並列化の対象外であった処理Pと処理Uを並列化対象処理とする方法を示す。

4.2 高速化手法

ベクトルプロセッサ2台の並列処理環境での例を用いながら検討を進める。

4.2.1 SECTION型並列処理の利用

並列化適用範囲の拡大を容易にするために、並列制御をDO ALL型ではなく、SECTION型に置き換える。また、並列処理のコストを削減するために^{注7)}、FORTRANライブラリにあるPOST/WAIT機能^{注8)}を用いて、1000元のLU分解アルゴリズムを4台マルチプロセッサで並列実行する場合、実行時間は30~40msecである。この中で150~200回程度の並列処理起動を行なうため、1回あたりの粒度は100 μ s~200 μ s程度となる。DO ALL型の1回あたりの並列制御処理時間は数~10数 μ sであり、数%と無視できる範囲では無くなる。POST/WAITを用いることにより並列制御処理時間を数分の1に短縮できる。^{注8)} このPOST/WAIT機能は、OSのPOST/WAITマクロではなく、FORTRANのライブラリの一部である。したがって、コストは比較的軽い。

表1 S-3800 4プロセッサモデルでの演算時間内訳

	浮動小数点 演算比率	実効性能	実行時間
	MFLOP's	GFLOPS	ms
主要ループ	659 (98.5%)	27	24.5 (61%)
その他のループ (含ピボット処理)	9 (1.3%)	0.7	13.4 (34%)
求解部	1 (0.2%)	0.5	2.0 (5%)
全体	669 (100%)	16.8	39.9 (100%)

利用する。

SECTION型並列の例を図9に示す。ここでは2つのサブルーチンLPK1およびLPK2を用意し、それぞれに並列化後のI、J、Kの3重ループの処理を割り付ける。処理の分割は図8と同じであり、LPK1には処理P、U、A1が割り当てられ、LPK2には処理A2が割り付けられる。SECTION文によるLPK1とLPK2の並列化は最初の1回のみ行なわれ、DOループ処理は各サブルーチンごとに独自に行なう。各ループごとでのLPK1とLPK2の間の順序制御はPOST/WAIT機能を利用する。このように、SECTION型の並列処理により異なる処理の並列化が可能となる。

なお、頻繁に使用されるPOST/WAIT機能のコストをさらに削減するために、POST/WAITをプログラム上の一般変数で実現することもできる。共有変数を用いてカウンタセマフォとして実現する。

4.2.2 領域Uの並列化

POST/WAITによる低コストの並列制御の実現により、並列化対象の拡大を行なう。まずは、補助図10aに示すUの領域の並列化をはかる。領域Uは領域Aと同様に列ごとに並列性を有しており、並列化が可能である。領域Aと領域Uの並列化のための分割の位置を合わせることで、効率良く領域Uを並列化することができる。このときのフローチャートを図10に示す。

4.2.3 ピボット処理と主要ループの並列実行

ピボット処理を含む領域Pの並列化を検討する。領域P自体は、処理量が少なく並列化粒度が小さくなるために並列化はあまり得策ではない。そこで領域Pを領域AやUと並列に実行することを試みる。K回目の領域AおよびUの処理A(K)、U(K)および次の反復K+M回目の領域Pの処理P(K+M)の関係を調べる。処理P(K+M)は処理A(K)のうちK+M列からK+M \times 2-1列までの処理が終了すれば実行することができる(補助図11aの点線の領域)。

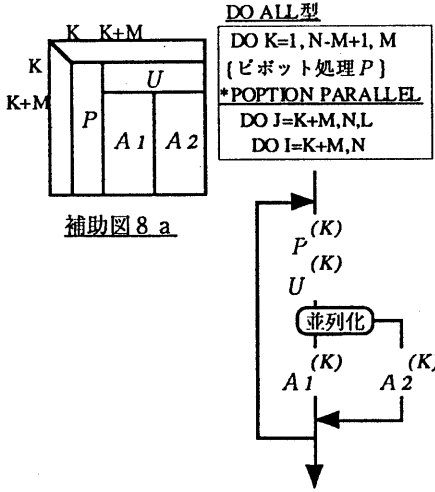


図8 DO ALL型並列処理による領域Aの並列化

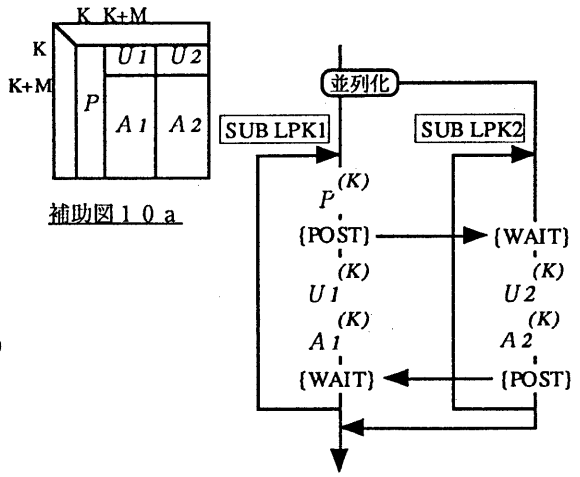


図10 領域Uの並列化

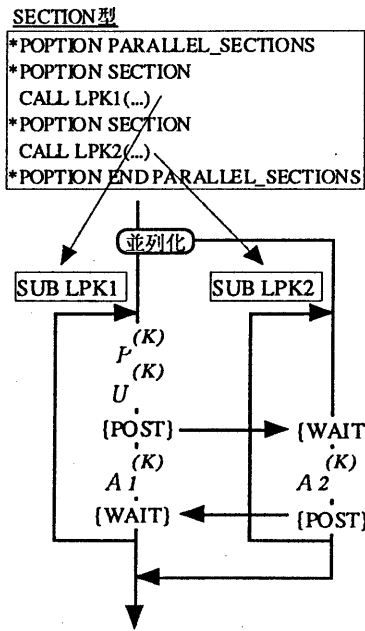


図9 SECTION型並列処理

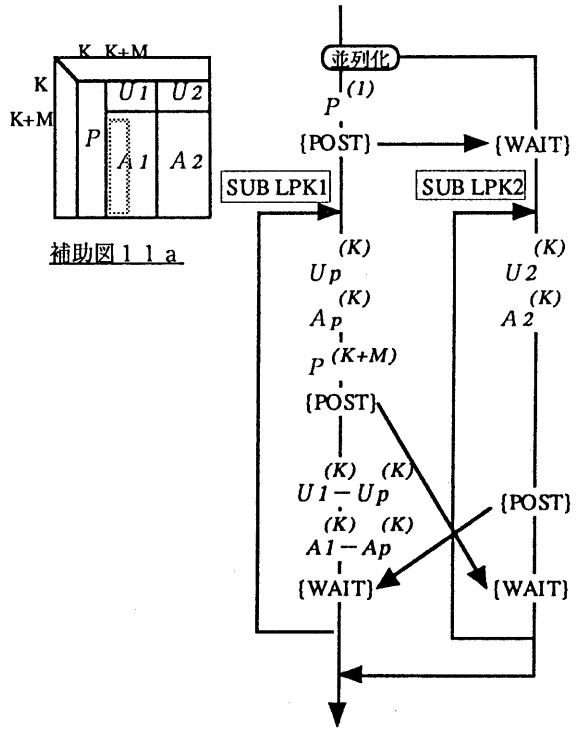


図11 ピボット処理Pと更新処理U, Aとの並列化

そこで、 $U_1(K)$ 、 $A_1(K)$ および $P(K+1)$ を同一の反復計算中に組込む、もう一方のプロセサでは、 $U_2(K)$ および $A_2(K)$ の処理を実行する。ここで、バランスをとるために、処理量は $U_1(K)+A_1(K)+P(K+M)$ と $U_2(K)+A_2(K)$ が均等になるように負荷分散を

行なう。ただし、このとき処理 $A_1(K)$ には最低限処理 $P(K+M)$ に必要な $K+M$ 列から $K+M \times 2 - 1$ 列までの処理を含める必要がある。さらに、 $U_1(K)$ 、 $A_1(K)$ を $P(K+M)$ を対象とする領域の処理 $U_p(K)$ と $U_1(K) - U_p(K)$ 、 $A_p(K)$ と $A_1(K) - A_p(K)$ に分ける。

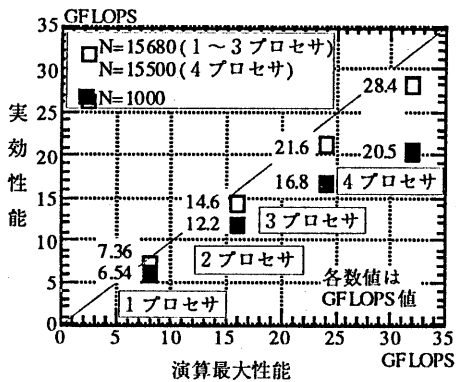


図1.2 S-3800の各モデルでの実測結果

P(K+M)は、Up(K)およびAp(K)終了後、すぐに実行することが可能となる。それに伴い、POST処理をできるだけ早く、WAIT処理をできるだけ遅く、実行することにより、WAIT処理での待ち時間を少なくすることができる(図1.1参照)。

以上の並列化効率の改善により、S-3800の4プロセッサモデルを用いた時の性能値として20.5 GFLOPSを得た。これは、台数効果として、3.1倍にあたり、4台のベクトルプロセッサで3台以上の実効性能を達成することができたことになる。

なお、ここでの並列化適応範囲の拡大の方法は、RISC、スーパースカラなどの高性能マイクロプロセッサを要素プロセッサとする高/超並列計算機のような分散記憶型計算機への適用も可能である。

5. 結論

主記憶共有型ベクトル並列計算機の特長を意識したLU分解アルゴリズムのチューニングを行ない、S-3800の各モデルに適用した結果を図1.2に示す。図1.2には、比較のために問題規模を非常に大きくしたときの結果も合わせて示す。1000元という比較的小さい問題規模にも関わらず、4プロセッサモデルにおいて、演算最大性能の64%、問題規模が非常に大きいときの性能の72%を実現した。

今回のチューニングでは、ハードウェアパラメータはS-3800を用いたが、基本的な考え方は他のベクトル並列計算機にも適用することができる。

さらに、ハードウェアの特長を引き出すチューニング手法を検討するとともに、この技術をコンパイラあるいはライブラリに適用できるようにし、一般のユーザでもより高い性能をより簡単に引き出せるようなシステム研究開発を行なっていきたい。

謝辞

本研究を進めるにあたり有益な助言および協力をいただきました日立製作所汎用コンピュータ事業部石井幸一主任技師、深川正一技師、同ソフトウェア開発本部 後保範主任技師、浜口信行技師に感謝いたします。

参考文献

- [1] Ishii, K., H. Abe, S. Kawabe and M. Hirai : An Overview of the HITACHI S-3800 Series Supcrcomputer, Proc. of Supercomputing'92 (1992).
- [2] Kitai, K., T. Isobe, Y. Tanaka, Y. Tamaki, M. Fukagawa, T. Tanaka and Y. Inagami : Parallel Processing Architecture for the Hitachi S-3800 Shared-Memory Vector Multiprocessor, ICS93 (1993.7).
- [3] Sakakibara, T., Kitai, K., T. Isobe, S. Yazawa, T. Tanaka, Y. Inagami and Y. Tamaki : Scalable Parallel Memory Architecture with s Skew Scheme, ICS93, pp.157-166 (1993.7).
- [4] Sakakibara, T., Kitai, K., T. Isobe, S. Yazawa, T. Tanaka, Y. Tamaki and Y. Inagami : An Interprocessor Memory Access Arbitrating Scheme for the S-3800 Vector Supcrcomputer, ISPAN (1994.12).
- [5] 浜口信行：主記憶共有型スーパーコンピュータの性能評価，情報処理学会研究報告94-HPC-51, pp.41-48 (1994).
- [6] Dongarra J.J. : Performance of Various Computers Using Standard Linear Equations Software, Comp. Science Dept., Univ. of Tennessee (1995.1).
- [7] Forsythe G.E., Moler C.B. : Computer Solution of Linear Algebraic Systems, Prentice-Hall, Inc. (1967). 渋谷，田辺訳：線形計算の基礎—連立一次方程式のプログラミング—，培風館 (1969).
- [8] 村田，小国，唐木：スーパーコンピュータ，培風館 (1986).
- [9] 高橋：分散メモリ型計算機PAX上におけるガウスの消去法，JSP91, pp.333-340 (1991.5).
- [10] 中西，三上：ブロッキングLU分解法のVP2600シリーズ向けチューニングについて，情報処理学会第42回全国大会予稿集，vol.1, pp.71-72 (1991.3).